

Aspergillose Invasive: diagnostic biologique et typage moléculaire

**INÈS HADRICH^a, FATTOUMA MAKNI^a, SALLEMI HAYET^a, AHLÈM
CHROUDA^a, BELLAJ HATEM^b, MOEZ ELLOUMI^b, ALI AYADI^a**

**Laboratoire de recherche: biologie moléculaire parasitaire et fongique: Faculté de Médecine, Sfax
Laboratoire de Parasitologie-Mycologie: CHU Habib Bourguiba, Sfax**

Objectifs

- **Evaluer les trois techniques: GM,PCR-ELISA,**
- RT-PCR: diagnostic de l'AI**
- **Typer les souches (environnement et cliniques) par
microsatellites**
- **Étudier la sensibilité des souches: E-test**

MATERIEL

Etude prospective (2004-2008): 163 patients

- Laboratoire de biologie moléculaire parasitaire et fongique, faculté de médecine de Sfax
- Service d'onco-hématologie, CHU Hédi Chaker de Sfax

MATERIEL

Prélèvements	Expectorations :	LBA :	Biopsie :
nasaux : 260	260	14	1

Sérum:

815

≈ 5 prélèvements/ patient

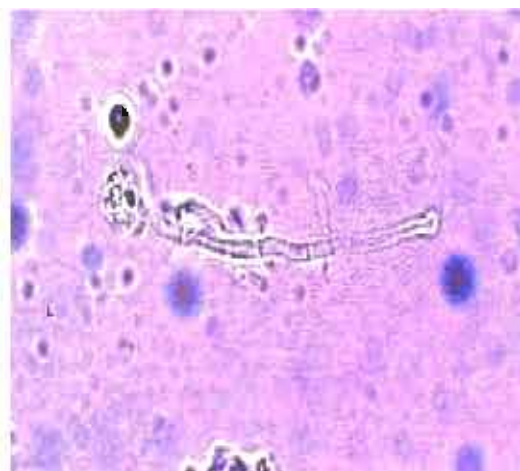
MATERIEL

Prélèvements environnementaux :
1680



METHODES

Examen direct



Culture: ST, Czapek



**PCR séquençage:
50 souches:
Environnement et cliniques**



**Séquenceur ABI 3130
(Applied Biosystems).**

METHODES

Antigénémie



**ELISA Platelia
Aspergillus, biorad**

PCR-ELISA



Roche Diagnostics

PCR temps réel



Sonde fluorescente: FAM (6-carboxy-fluorescein)
Quantification de l'ADN: une série de dilutions de 10^1 à 10^8 / ml

Analyse des microsatellites

- Répétition en tandem de 2 à 6 nucléotides

ATGCTTGCGATT-**ACACACACACACACACACAC**-CTTAGACGCATT

Les répétitions en tandem: **polymorphes**

Intérêt : génotypage moléculaire des souches

- PCR séquençage des microsatellites:
confirmation de l'unité de répétition

Analyse des microsatellites

[Aspergillus flavus](#) | [Aflatoxin](#) | [Genomics](#) | [Research](#) | [Protocols](#) | [Meetings](#) | [Publications](#) | [News](#) | [Links](#)

Aspergillus flavus Genome Sequencing Project

Project Overview

Gary A. Payne and Ralph A. Dean at North Carolina State University received funding from the Microbial Genome Sequencing Project, USDA National Research Initiative to completely sequence the genome of *A. flavus* strain NRRL 3357 to the level of 5 fold sequence coverage. Whole genome sequencing was done at The Institute for Genomic Research, Rockville, Maryland under the supervision of William Nierman. Jennifer Wortman directed the assembly and automated annotation. The USDA/ARS/SRRC in New Orleans, Louisiana provided its Expressed Sequence Tag (EST) genomic database for *A. flavus* as a matching resource towards the complete genomic characterization of *A. flavus*. They also provided funds for fine closure and finishing of the sequence. Juijiang Yu at USDA/ARS/SRRC lead the EST sequencing program and has directed the sequencing efforts supported by the USDA/ARS.

The available genome sequence for *A. flavus* provides a powerful resource for research on the biology and evolution of this important plant and animal pathogen. Further, we anticipate that the sequence will reveal critical genetic processes in the fungus that could be interrupted to control aflatoxin contamination, which causes hundreds of millions of dollars in crop losses during years of severe outbreaks.

Sequence Information

Sequence reads from the 5 X coverage were released to NCBI in July 2005. The annotated genome was released in October 2005 and can be accessed at this site through the genome browser button below. Manual annotation will be coordinated through North Carolina State University.



Analyse des microsatellites

TANDEM REPEATS FINDER

Welcome to Tandem Repeats Finder

 [TRDB](#) is a public database of tandem repeats that allows users to run their own sequences. It has many added features not available in TRF.

 [Submit a Sequence for Analysis](#)

 [Download Your Own Copy of the Program](#)

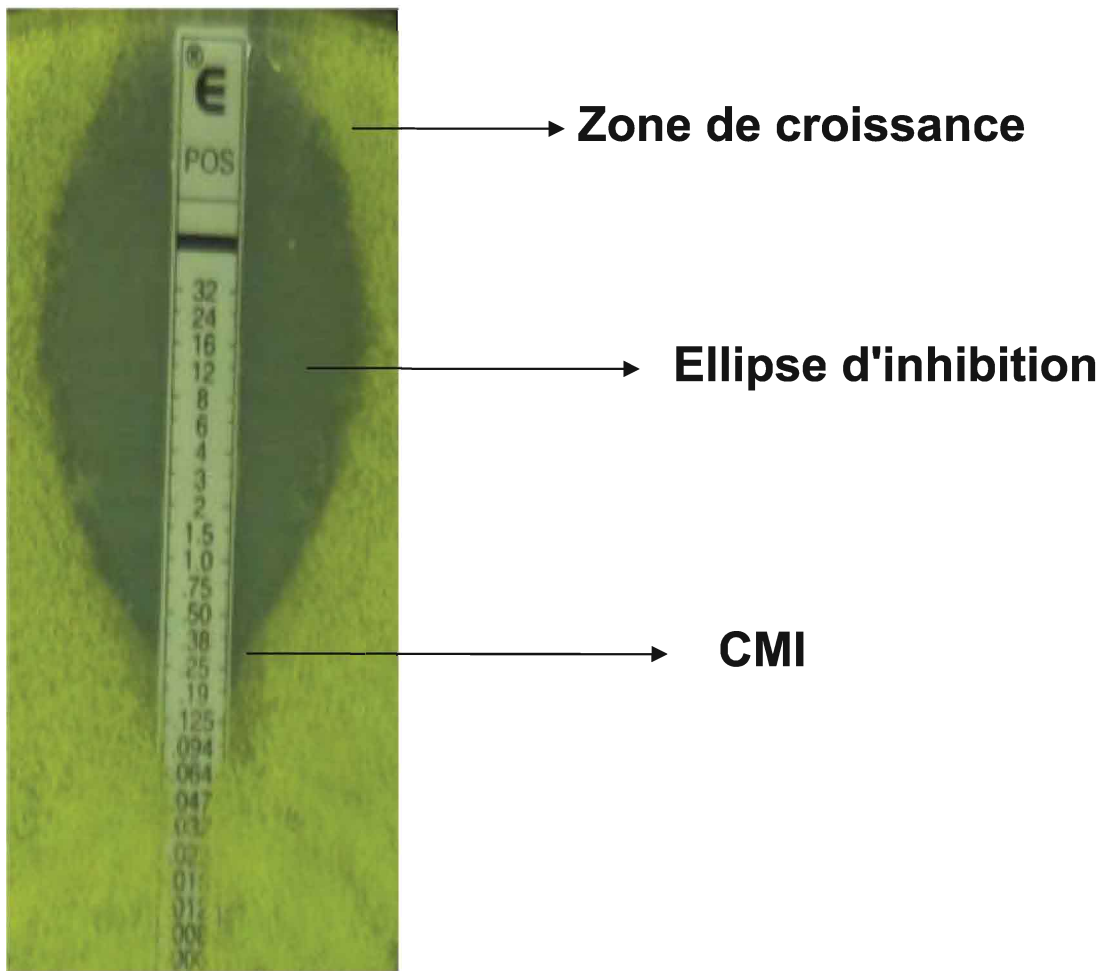
 [Find Out How TRF Algorithm Works](#)

 [Find Out What's New](#)

 [Add Your Email to Our Notification List](#)

<http://tandem.bu.edu/trf/trf.html>

Étude de la sensibilité: E-test



**E-test: 37 souches isolées à partir de différents
prélèvements cliniques chez 11 patients**

Résultats

⇒ **163 patients neutropéniques:**

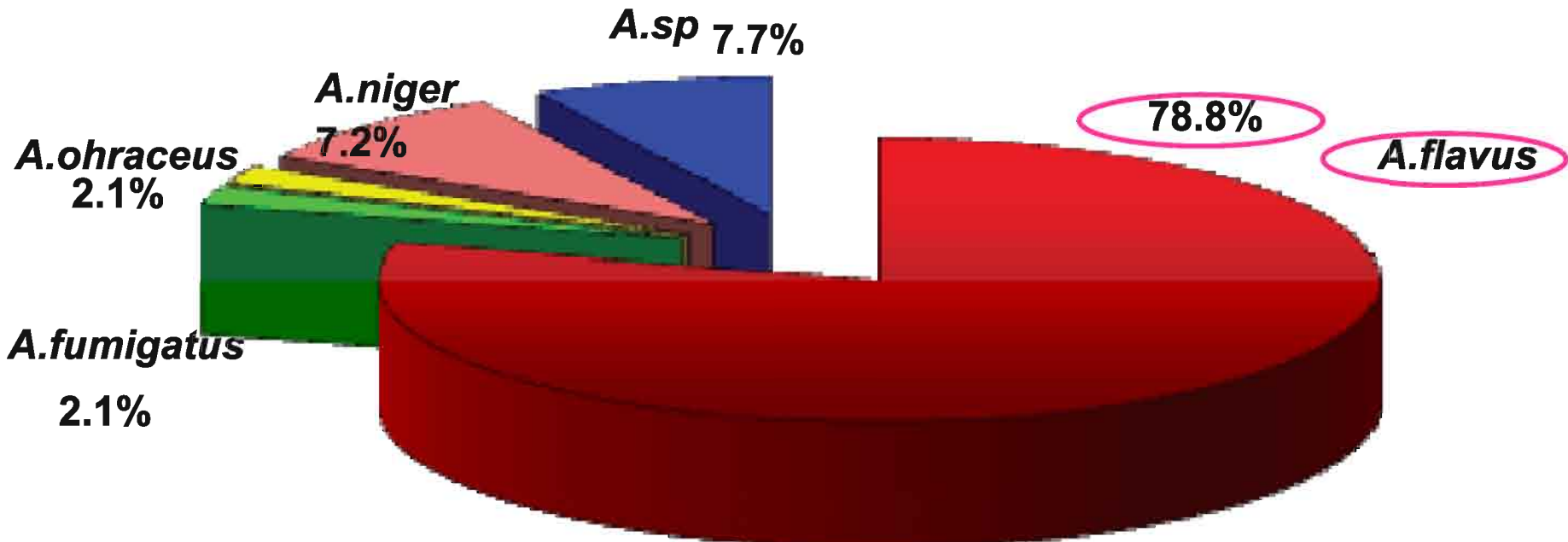
PNN < 500 / μ l + T > 38,5°C

Classification selon l'EORTC:

- **1 AI prouvée**
- **31 AI probable**
- **15 AI possible**

Résultats

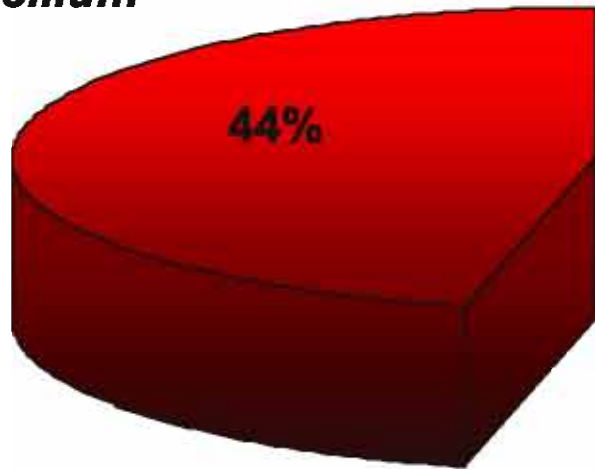
Prélèvements cliniques : 824



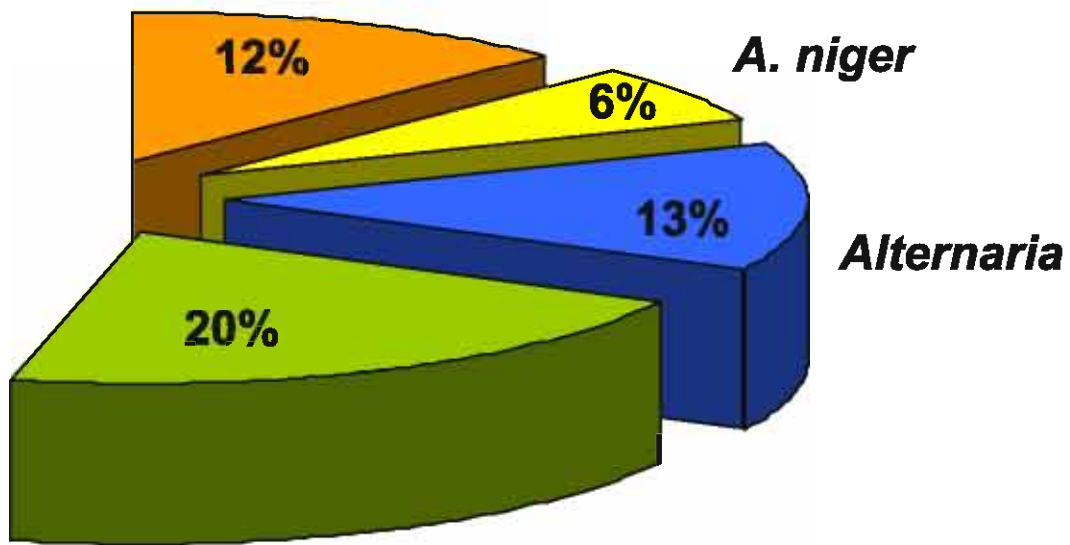
Résultats

Prélèvements environnementaux: 316

Penicillium



A. flavus



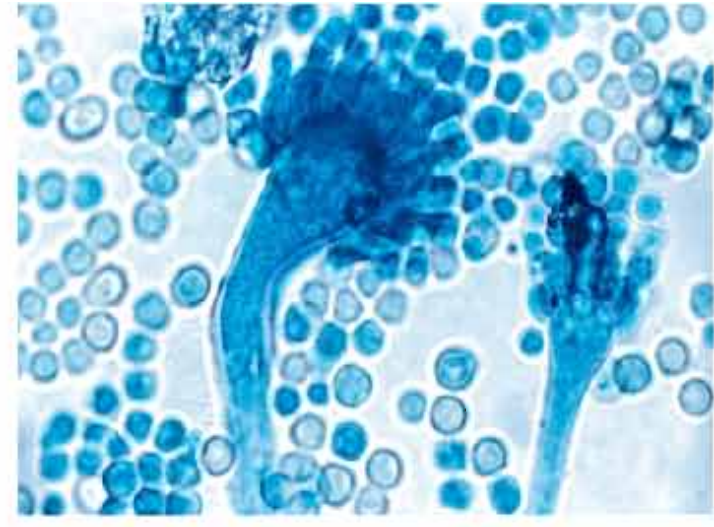
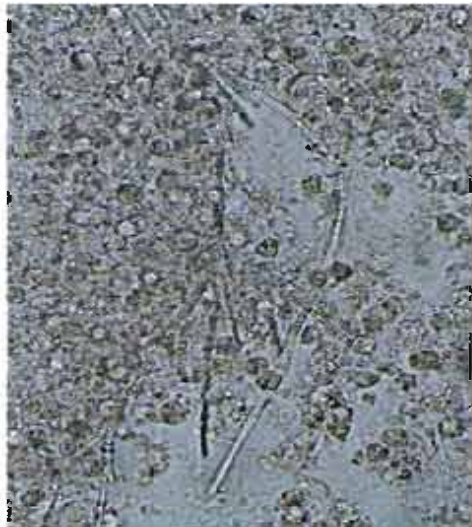
Cladosporium

A. niger

Alternaria

Résultats

A.flavus



Filament mycélien

macroscopie

microscopie

PCR-Séquençage: confirmation de l'identification phénotypique d'*A. flavus*

M C1 C2 C3 C4 C5 T+ E1 E2 E3 E4 E5 E6 E7 T-

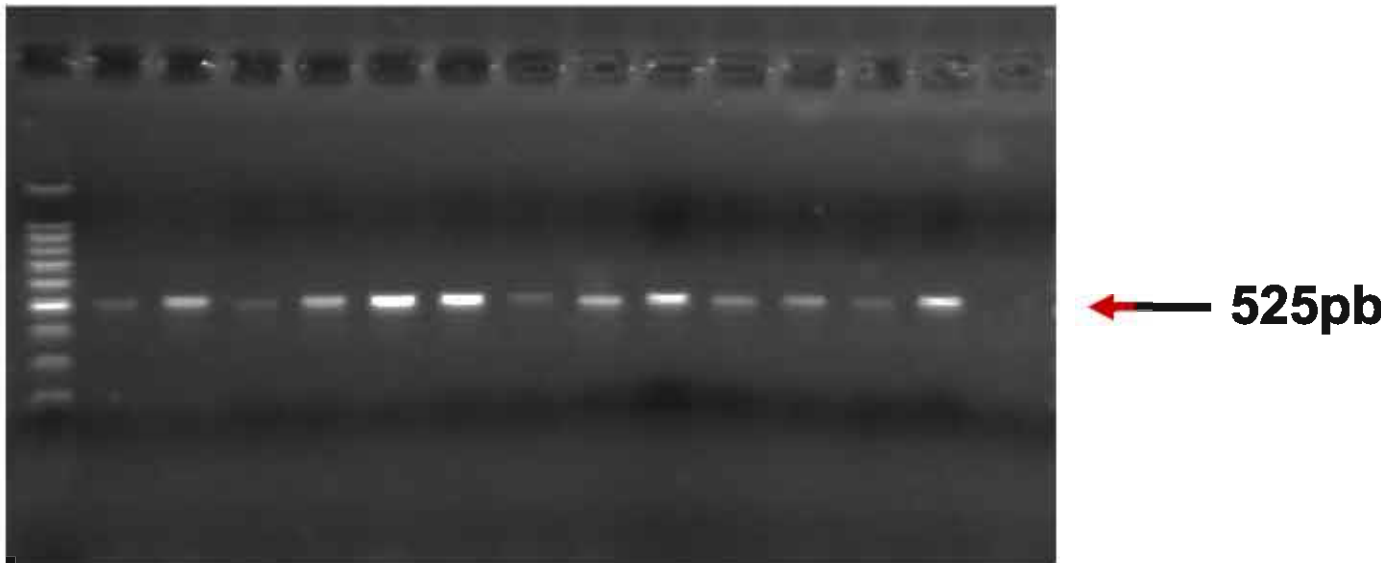
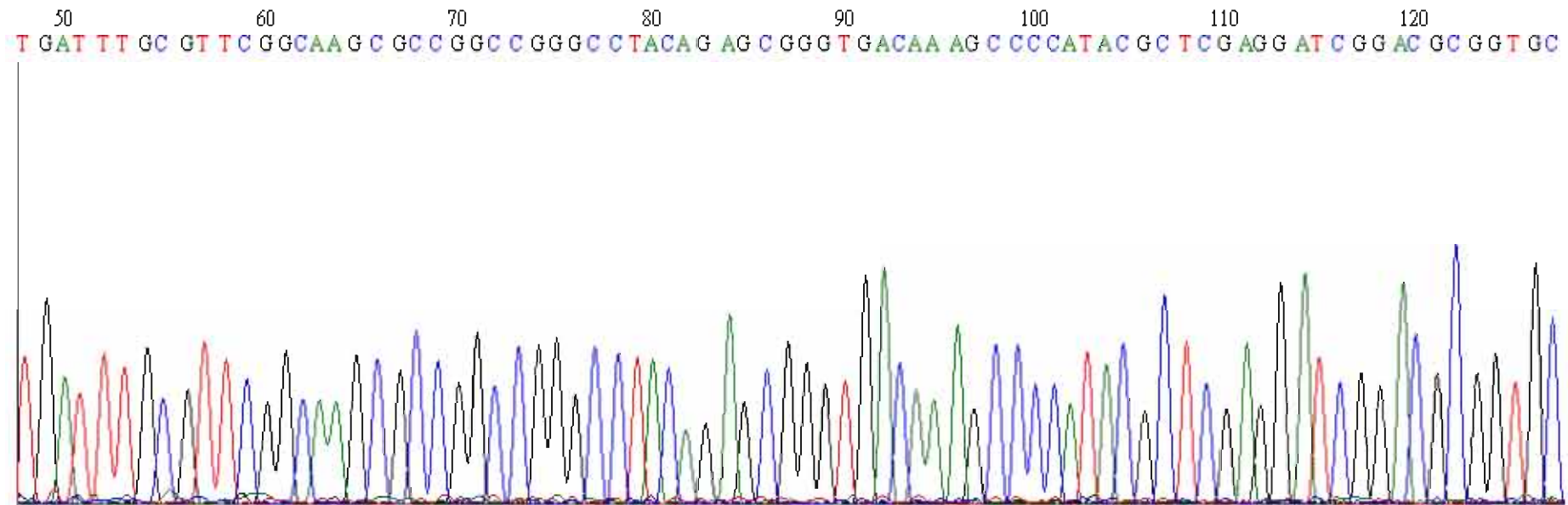


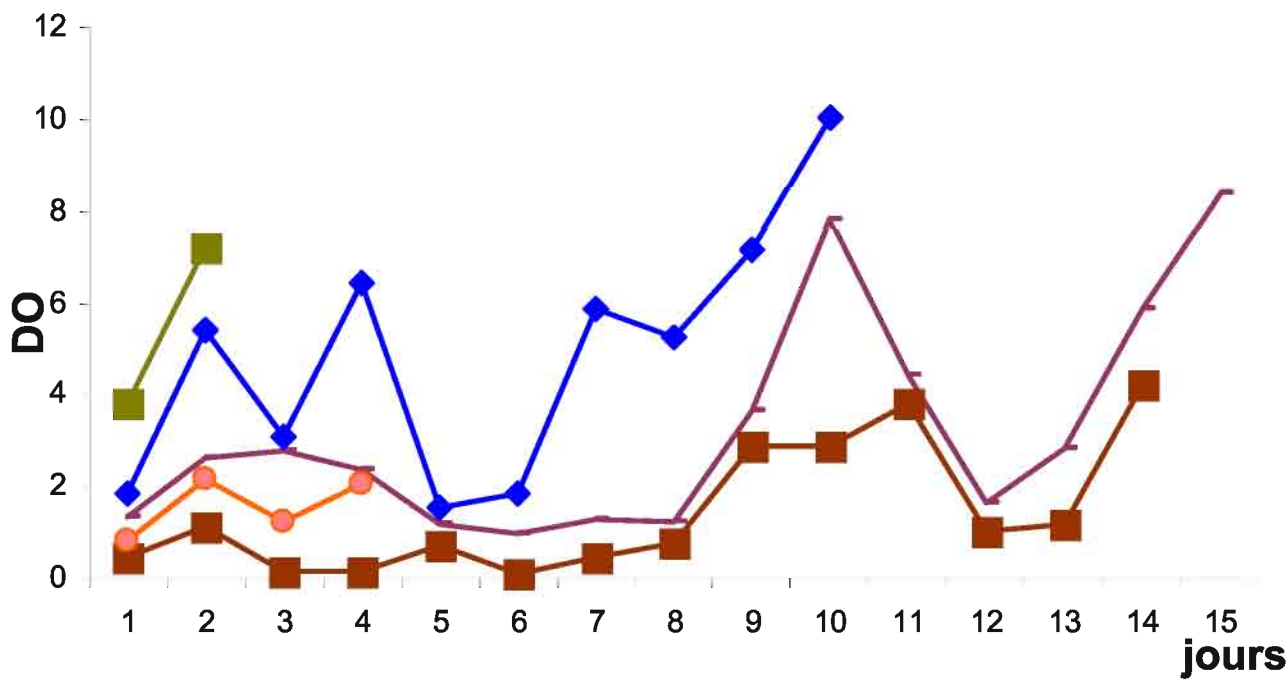
Figure 3: DNA Amplification extracted from *A.flavus* (Clinical and environmental samples).
M: size marker (100 pb); T- : negative control; T+: positive control (*Aspergillus flavus*: type strain control); Clinical samples: C1 (BAL), C2 (nasal), C3 (auricular), C4 (sinusien biopsy), C5 (BAL); Environmental samples: E1 (acclimatizer), E2 (room), E3 (table), E4 (windows), E5 (door), E6 (bed), E7 (hall).

Séquençage



Blast TN: 100 % identité avec *A.flavus*

Antigénémie GM



AI probable: suivi quantitatif du GM: 61.3 % létalité 89.5%

AI possible: suivi quantitatif du GM: 40 % survie 100%

Performance diagnostique: Sang

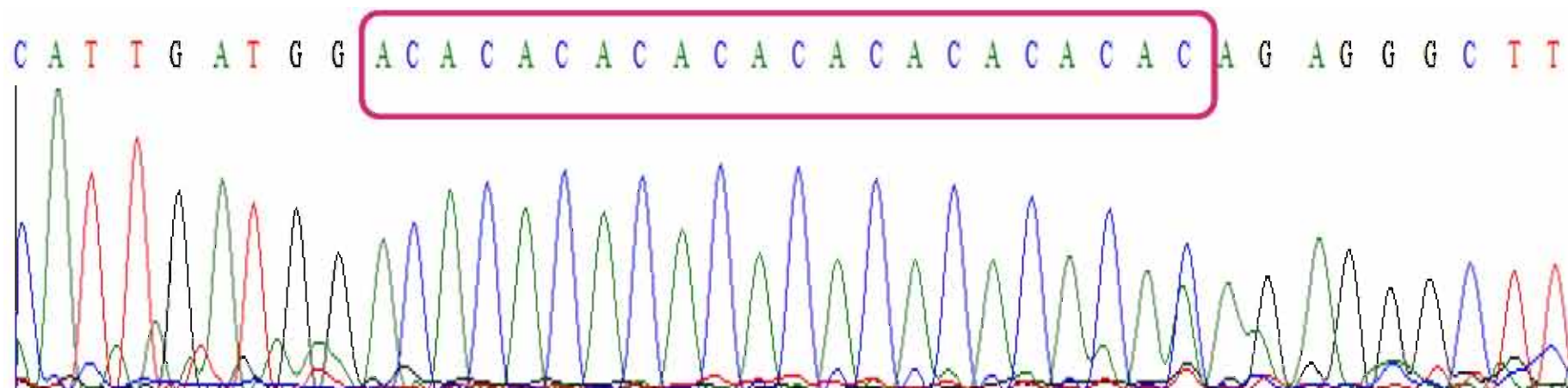
	PCR-ELISA	Real-time PCR
Sensibilité	96.9	93.8
[95% CI]	[90.2-96.9]	[86.6-93.8]
Spécificité	100	100
[95% CI]	[95.5-100]	[95.1-100]
LR+	Inf	Inf
[95% CI]	[19.890-inf]	[17.681-inf]
LR-	0.031	0.063
[95% CI]	[0.031-0.103]	[0.063-0.141]
Yule Q^a	1.0	1.0

Performance diagnostique: LBA

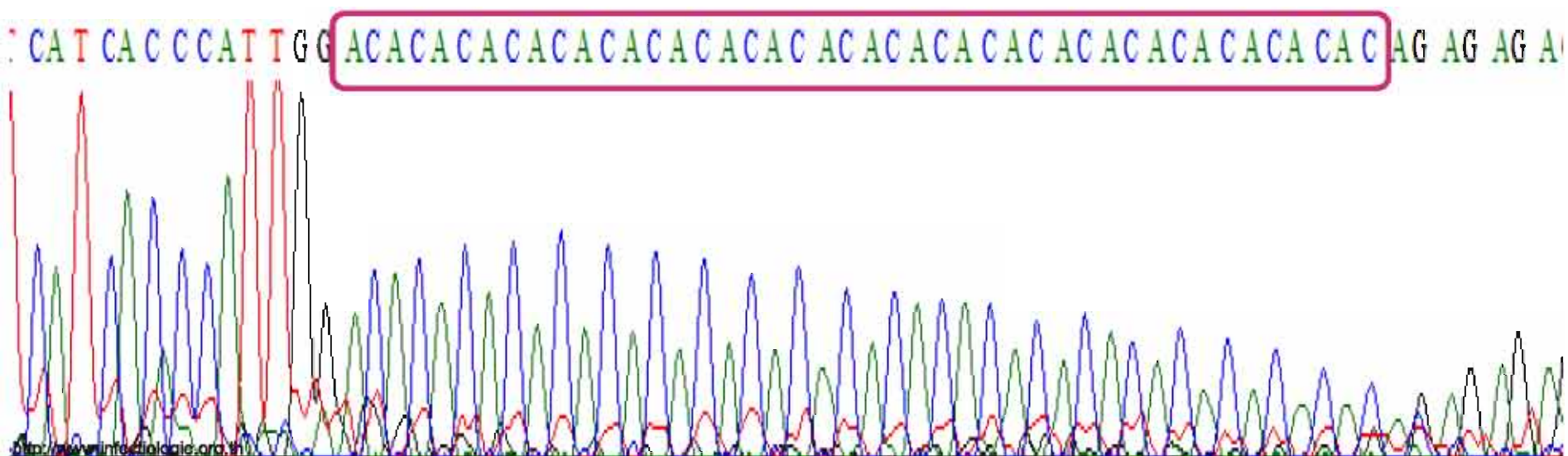
	GM Ag	PCR-ELISA	Real-time PCR	Culture
Sensibilité	85.7	71.4	64.3	40
[95% CI]	[67.4-94.3]	[53.6-77.2]	[46.4-70.1]	[21.4-35.7]
Spécificité	92.9	96.4	96.4	100
[95% CI]	[83.7-97.2]	[87.5-99.3]	[87.5-99.3]	[60.1-100]
LR+	12	20	18	Inf
[95% CI]	[4.144-33.322]	[4.282-115.970]	[3.711-106.123]	[3.007-Inf]
LR-	0.154	0.296	0.370	0.643
[95% CI]	[0.058-0.389]	[0.229-0.531]	[0.301-0.612]	[0.643-0.846]
Yule Q^a	0.975	0.971	0.96	1.0

Séquençage des microsatellites

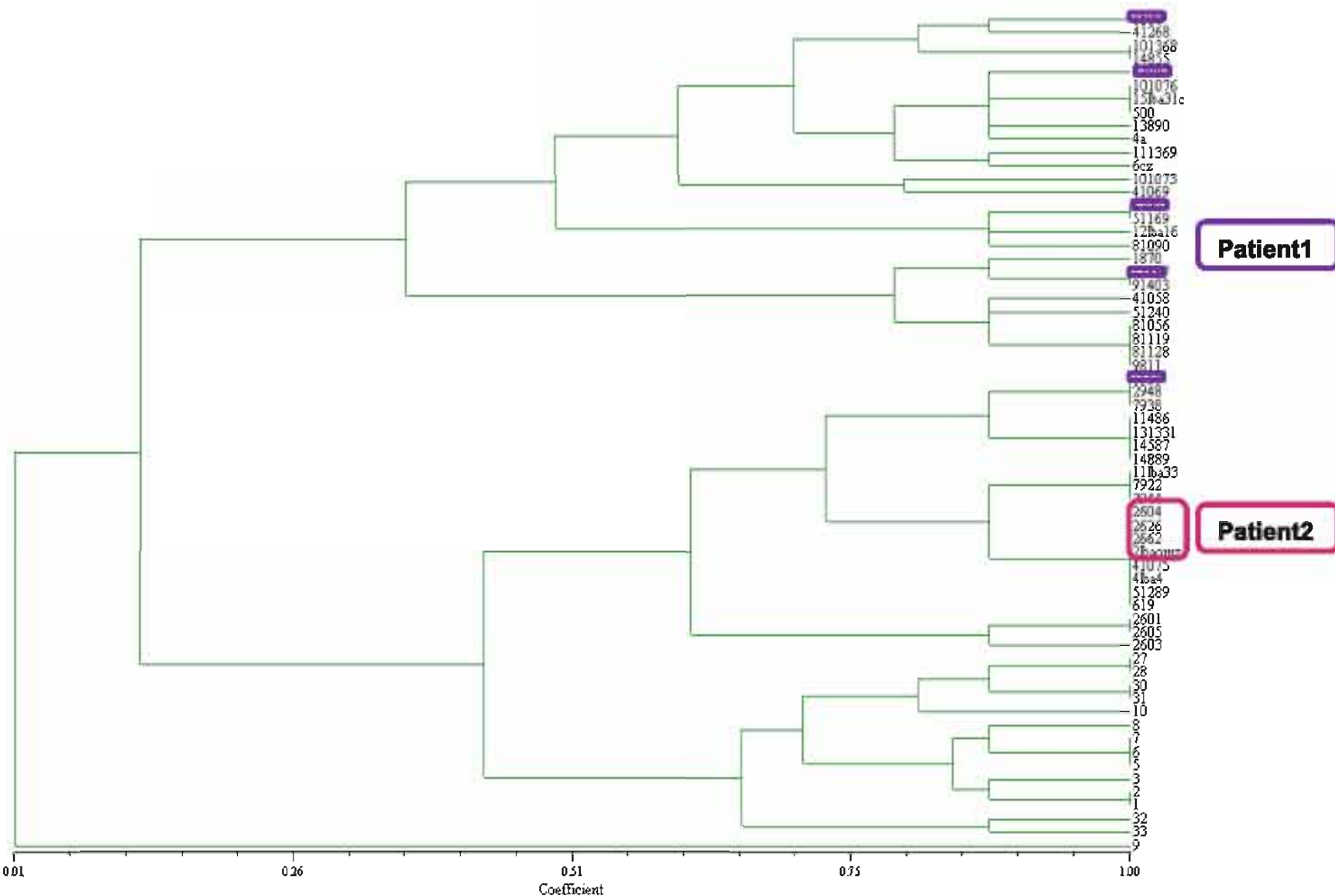
AC11 fois



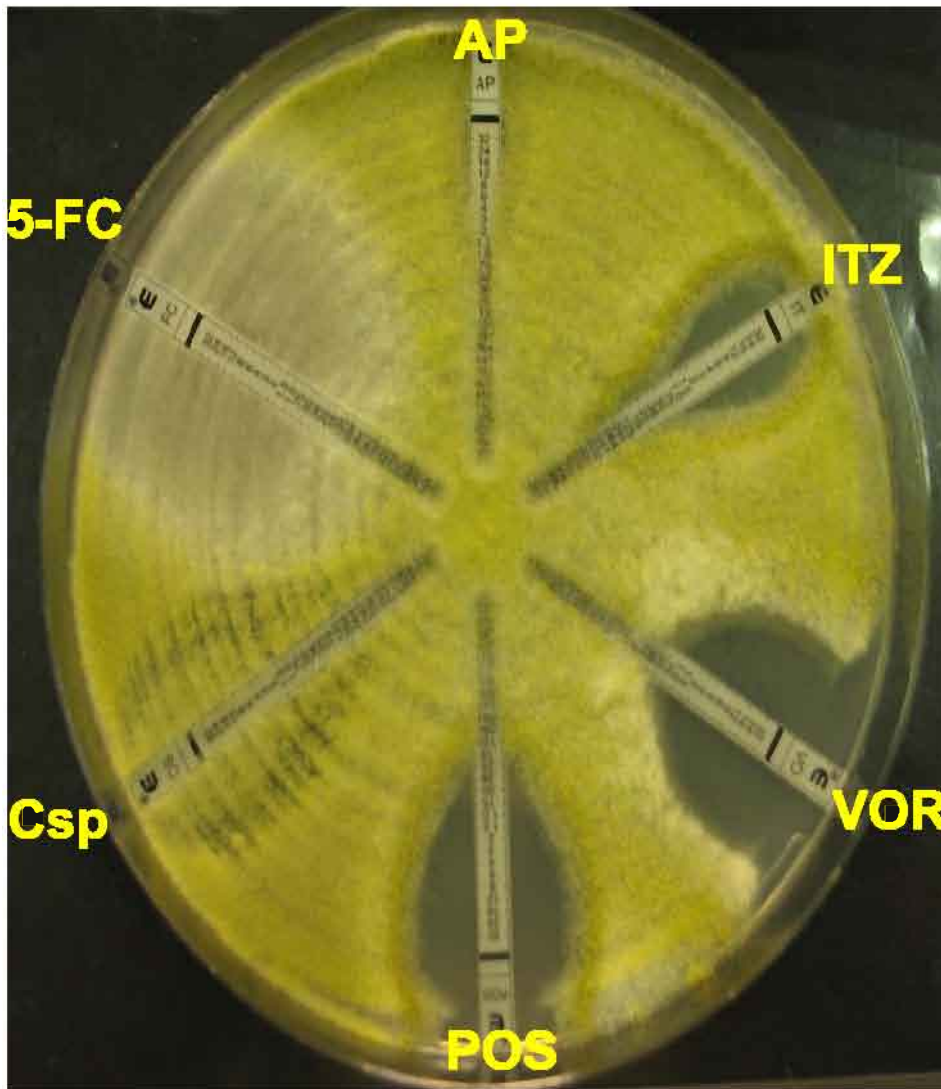
AC 22 fois



Arbre de phylogénie

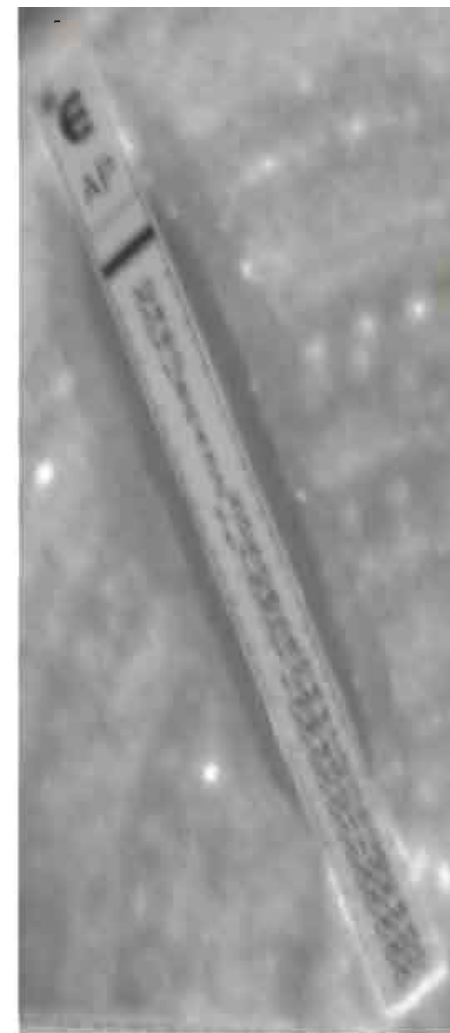


Etude de sensibilité



**Amph résistant
CMI > 32 µg/ml**

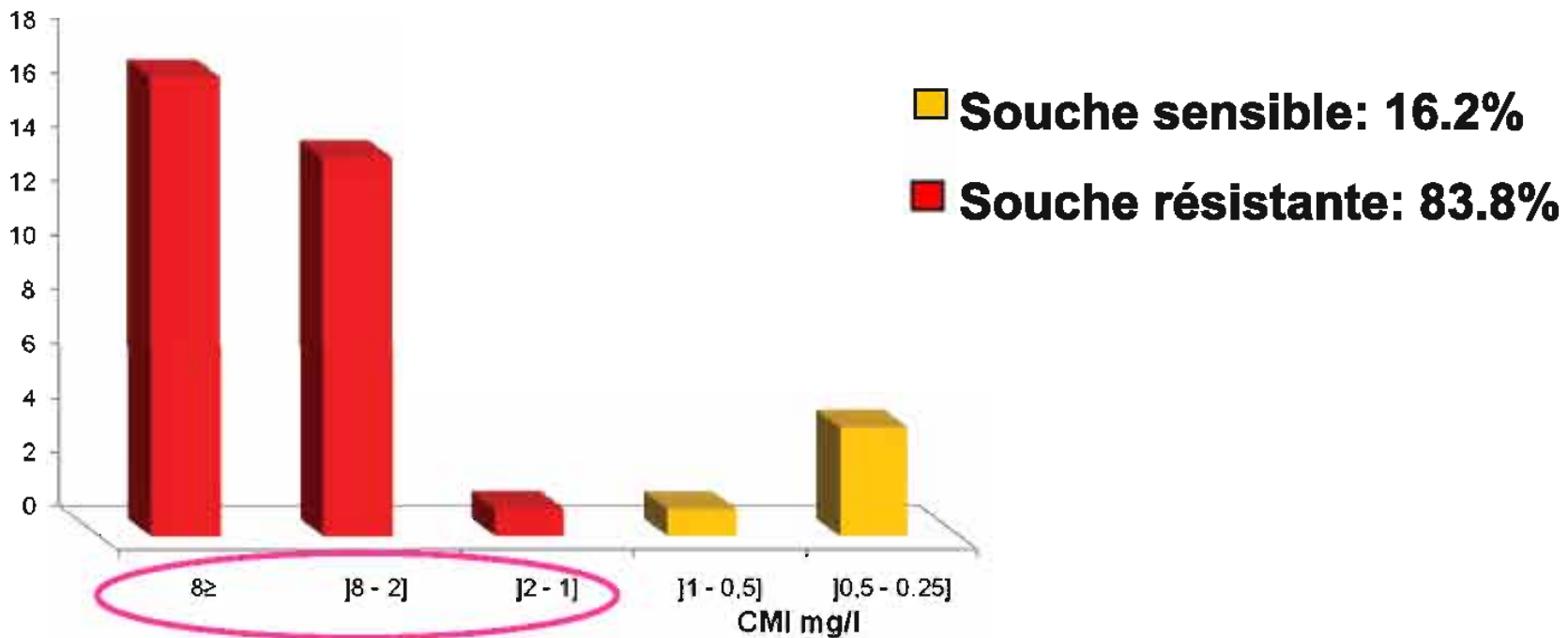
Etude de sensibilité



Souche sensible à l'amphotéricine B (CMI=0.23 µg/ml)

Etude de sensibilité

Aspergillus flavus
Amphotéricine B



Etude de sensibilité

		5-FC	AMB	IT	Vor	Posa	Casp
A. flavus <i>n = 37</i>	MIC 90 min	> 32	0.25	0.025	0,025	0,064	0,125
	MIC 90 max	> 32	> 32	1,5	0.75	1.5	> 32
Sensibles (%)			16.2	81..2	100	83.8	
Résistants (%)		100	83.8	18.8		16.2	100

Discussion

***A. flavus*: agent étiologique de l'aspergillose invasive dans notre région**

⇒ confirmé par PCR séquençage

Arabie Saoudite, Soudan: *A. flavus*

Espagne, France, Italie: *A. fumigatus* (80%)

Falvey D.G. et al *J Hosp Infect* 2007

Diagnostic moléculaire: PCR

**D'après une Méta-analyse: 16 études
incluses/7059 publications**

**Intérêt dans le dépistage d'AI et le diagnostic
Un seul test négatif exclue AI**

Deux tests positifs: confirment le diagnostic

Carlo et al, *lancet* 2009

Diagnostic moléculaire: LBA

Auteur	Année	Technique	Sensibilité	Spécificité
Raad	2002	PCR	69	90
Sanguinetti	2003	RT-PCR	100	100
Rantakoko-J	2003	RT-PCR	73	93
Musher	2004	RT-PCR	67	100
Tuon	2007	PCR	79	94
E. Fréalle	2008	RT-PCR	88	94
Prasanna D.K	2008	RT-PCR	76.9	87.8
Notre étude		RT-PCR PCR-ELISA	64.3 71.4	96.4 96.4

Etude de la sensibilité

MICs $\mu\text{g m}^{-1}$

Drug	Range	A. fumigatus (n = 27)	A. terreus (n = 20)		A. flavus (n = 17)	A. niger (n = 12)		
		MIC 90	Range	MIC 90	Range	MIC 90	Range	
Ampho B	0.12-1	1	0.25 to >2	>2	0.12 to >2	2	0.12-0.5	0.5
Itraconazol	0.25-1	1	0.12-0.5	0.12	0.12-0.5	0.12	1 to >2	>2
Posaconazol	0.06-2	0.5	0.12-1	1	0.5-1	0.5	1	1
Voriconazol	0.12-1	0.25	0.25-2	1	0.5-1	0.5	0.5-2	2
Caspofungin ¹	0.5-1	1	0.25-0.5	0.25	0.25-0.5	0.5	0.25-1	0.25

MIC 90 (MIC causing inhibition of 90% of isolates).

C. Lass-Floerl, mycoses 2008



Merci